43

# 滇西北宁蒗地区树扎-树劳河一带<sup>®</sup> 华力西期基性喷出岩系含矿性研究

胡受权 郭文平

(成都理工学院,成都,610059) (四川盐业地质钻井大队,自贡,643000)

提 要 研究区华力西期基性喷出岩系具明显的旋回性和韵律性,属滨一浅海相喷发-沉积环境。随着区内华力西期基性岩浆演化分异作用的进行,其含矿性(铜、铅、锌等)呈现递增的变化规律。第  $\mathbb{I}$ 、 $\mathbb{I}$  旋回玄武岩系( $P_{zp}$  和  $P_{2h}$ )是区内重要的矿源层和赋矿层位。

关键词 宁蒗地区 华力西期 基性喷出岩系 含矿性

### 0 引 言

滇西北宁蒗地区树扎-树劳河一带华力西期基性岩浆喷发于晚二叠世,活动时间长,喷发强度大,分布范围广,构成本区具一定含矿性的上二叠统玄武岩组 $(P_2\beta)$ 和黑泥哨组 $(P_2h)$ 两套玄武岩系,为区内喜山期斑岩体外接触带的热液型铜矿带(树扎-树劳河铜矿带)的形成提供了重要的物质基础。

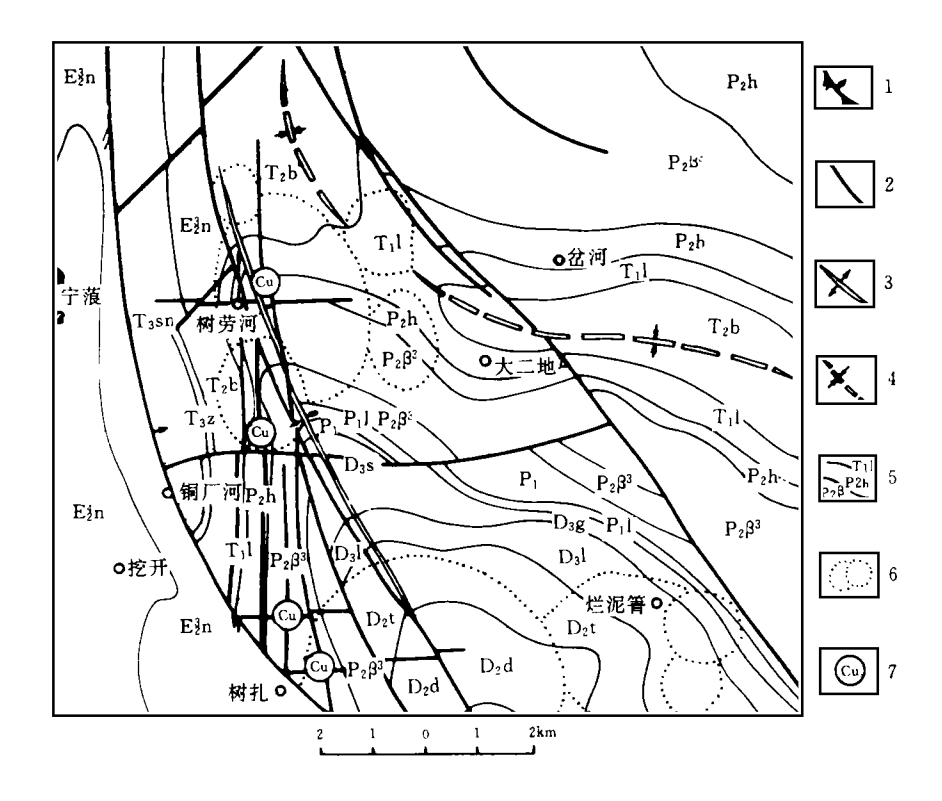
树扎-铜厂河-树劳河铜矿带系区内喜山期斑岩体外接触带玄武岩系中的矿产,分布于本区近南北向主干断裂(包都-波罗断裂)弧形西凸的内凹部位(图 1),总体呈南北向展布,矿化均产于华力西期基性喷出岩系中,即  $P_2\beta$ 与  $P_2h$  地层中。因此,对其含矿性的分析探讨,具有一定的找矿勘探意义。

# 1 华力西期基性喷出岩系基本特征

#### 1.1 玄武岩系主要岩石类型

区内玄武岩系主要由致密状玄武岩、杏仁状玄武岩、气孔状玄武岩、斜斑玄武岩等岩石类

① 收稿日期 1995.3.15 改回日期 1995.5.16



1. 主干断裂(压扭性) 2. 次级断裂 3. 背斜 4. 向斜 5. 地层界线与地层代号 6. 喜山期斑岩体 7. 铜矿图 1 树扎-树劳河斑岩外接触带玄武岩系中热液型铜矿带地质图

(据胡受权,1991,云南宁蒗地区喜山期斑岩成矿带构造控岩控矿特征(硕士论文))

Fig. 1 Geological map of hydrothermal copper ore belt in basalt formation of outer porphyry contact from Shuza to Shulaohe

型组成,并分别含有自然铜、硅孔雀石等铜矿物。

- 1.1.1 **致密状玄武岩** 暗灰、棕灰、深灰色,致密块状,填间结构(图 2)、间隐结构(图 3)、斑状结构。普遍含有浸染状、星点状自然铜,尤其黑泥哨组上部层位的致密状玄武岩中,铜含量明显高于其下各层位的同类岩石。致密状玄武岩是自然铜产出的主要岩石类型。
- 1.1.2 **杏仁状玄武岩** 灰色、深灰色、灰绿色等,杏仁状构造,杏仁体含量 5%至 30%~40%不等,成份主要是蛋白石、绿泥石、方解石、沸石等,含自然铜和硅孔雀石。基质具填间结构和间隐结构,少数具显微斑状结构。
- 1.1.3 气孔状玄武岩 灰色、灰绿色,气孔含量 20%~40%,形状、大小不一。含硅孔雀石,基底见填间结构、显微斑状结构。
  - 1.1.4 斜斑玄武岩 灰色,斑状结构,基底具填间结构,含星点状自然铜。
  - 1.2 玄武岩系剖面特征

区内华力西期基性岩浆喷发活动,形成了本区上二叠统玄武岩组 $(P_2\beta)$ 和黑泥哨组 $(P_2h)$ 两套地层,整个喷发过程具四个明显的旋回。

下部地层为玄武岩组 $(P_2\beta)$ ,由三个岩浆喷发旋回形成了特征互异的三个岩性段,均具海底喷发性质。

上部地层为黑泥哨组 $(P_2h)$ ,由一个喷发旋回组成,具四个清晰的韵律层,属滨海相-沼泽相沉积。

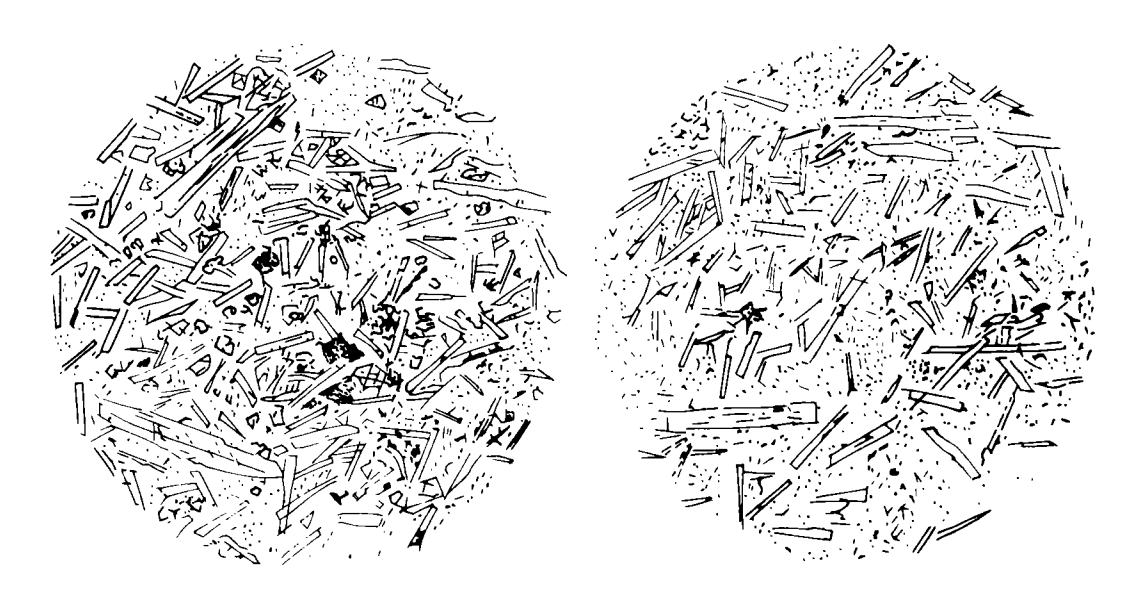


图 2 玄武岩的填间结构

(单偏光,10×10)

Fig. 2 Intersertal texture in basalt

#### 图 3 玄武岩的间隐结构

(单偏光,10×10)

Fig. 3 Interaphanitic texture in basalt

#### 1.2.1 上二叠统玄武岩组(P<sub>2</sub>β)

根据玄武岩的岩石成分、结构构造和韵律层特征等,可将该套地层划为三个岩性段,代表岩浆喷发的三个旋回,其特征为:

上覆地层:Pah

---整合---

玄武岩组上段(P₂β³):

- 7. 深灰色致密状玄武岩,上部为杏仁状玄武岩,致密状玄武岩中含星散状自然铜。
- 514.4m
- 6. 深灰色、黄绿色致密状及杏仁状玄武岩、夹紫红色凝灰质页岩、凝灰岩及斜斑玄武岩,杏仁体中含自然铜及硅孔雀石。
- 376.6m

5. 深灰色斜斑玄武岩,顶部夹玄武质凝灰角砾岩。

53.6m

- 玄武岩组中段(P<sub>2</sub>β²):
- 4. 深灰、灰绿色杏仁状玄武岩为主,夹致密状玄武岩及紫红色凝灰质页岩及 凝灰岩(由下而上由致密状玄武岩一杏仁状斑岩—凝灰质页岩及凝灰岩

组成几个小旋回)。

420m

3. 深灰、黄绿色致密状及杏仁状玄武岩自下而上由致密状玄武岩一杏仁状 1152.2m 玄武岩组成几个小旋回。

玄武岩组下段(P₂β¹):

2. 灰色、灰绿色玄武质凝灰角砾岩。

242.4m

1. 上部黄绿色杏仁状玄武岩;下部致密状玄武岩;底部紫红、黄灰色中-细粒凝灰质砂岩。

124m

---假整合---

下伏地层:P<sub>1</sub>m

#### 1.2.2 **上二叠统黑泥哨组**(P₂h)

区内黑泥哨组为一套喷发-沉积岩系,由上而下可分四个明显的韵律层(IV<sub>1~4</sub>),显示凝灰质岩(偶含化石)—致密状玄武岩—杏仁状(或气孔状)玄武岩的变化规律。无论对黑泥哨组喷发-沉积岩系而言,还是就每一喷发韵律层而论,在喷发晚期,由于岩浆分异作用的进行和气液相组分的增加,往往导致含铜组分的递增,成为区内喜山期斑岩体外接触带铜矿的主要物质来源。

#### 剖面特征:

上覆地层:下三叠统腊美组(T<sub>1</sub>1)

#### ---假整合---

第四韵律层(N₄)
-----------

13. 深灰色斜斑玄武岩,含自然铜	17.74m
12. 暗紫红色玄武质凝灰岩	24. 08m
第三韵律层(№₃)	
11. 灰色致密状玄武岩夹杏仁状玄武岩,致密状玄武岩含自然铜。	115.6m
10. 紫红色、灰色、灰黄色气孔状玄武岩,含硅孔雀石。	12.15m
9. 灰色致密状玄武岩,含自然铜。	7.67m
8. 紫红色玄武质凝灰岩。	9.19m
第二韵律层(№₂)	
7. 灰色杏仁状玄武岩,杏仁体中偶见孔雀石。	55.18m
6. 灰色蚀变玄武岩。	92.55m
5. 褐灰色、灰黄色粉砂质页岩、灰黑色碳质页岩、灰褐色玄武质岩屑砂岩,	
含腕足类化石。	87.50m
第一韵律层(№₁)	
4. 灰黑色杏仁状玄武岩。	42.30m
3. 灰黑色致密状玄武岩,含自然铜。	35. 72m
2. 灰色、灰黑色玄武质岩屑凝灰角砾岩。	69.38m
1. 灰色、灰黄色玄武质凝灰岩,含腕足类、有孔虫等化石。	17.45m
——整合	

下伏地层:P₂β³

## 2 华力西期基性喷出岩喷发旋回和喷发环境分析

本区华力西期基性喷发岩系,按其喷发特征可分出四个喷发旋回(表 1)。

第 I 旋回,喷发中心位于金沙江河谷一带,喷发规模较小,分布范围局限。该旋回以玄武岩、玄武质凝灰岩为主,超覆于下二叠统茅口组(P<sub>1</sub>m)之上。

表 1 基性岩浆喷发旋回的划分

Table 1 Division of eruption cycles in basic magma

喷发旋回	I	II	п	I.	
地层代号	$P_2\beta^1$	$P_z \beta^2$	$P_2\beta^3$	P₂h	
喷发环境	浅海相	 浅海相	浅海-滨海相	滨海-沼泽相	
nate (4), 4+ 4丁	规模较小	喷发高峰	间歇性喷发	间歇性喷发	
喷发特征	分布局限	分布广泛	喷发中心西移	间隙多而短	
岩石组合	玄武岩、玄武质凝灰岩	玄武岩、凝灰岩	玄武岩夹凝灰岩、	玄武岩夹砂岩	
чниц			凝灰质页岩		

第 『 旋回,连续喷发-沉积于第 I 旋回之上,属喷发高峰期,喷发物广布全区。该旋回底部以一层玄武质凝灰角砾岩为底界,顶部具灰岩或页岩夹层,系海底喷发间隙期的海相沉积物。

第 Ⅲ 旋回,喷发中心西移,喷发间隙增多,具较多的凝灰质页岩、凝灰岩夹层,分布范围广。 第 Ⅳ 旋回,岩石组合以玄武岩夹砂岩为主,喷发间隙多而短,滨海-浅海相沉积夹层频繁出现,局部还有沼泽泥炭相沉积。

就区内基性岩浆的每一喷发旋回来看,具明显的韵律特征,每一旋回内可分一个或多个韵律层,岩性组合自下而上呈现凝灰质岩一致密状玄武岩一杏仁状(或气孔状)玄武岩的变化规律。这是由于控岩构造活动的多期次性和岩浆喷发过程的脉动性所致。第 II、IV 旋回普遍出现斜斑玄武岩,表明在岩浆分异作用后期,岩浆喷发的物理化学条件发生了改变,这对其含矿性的变化也有一定的影响。

区内玄武岩系中常有较稳定的海相沉积物夹层,且具典型的枕状结构特征,表明本区基性岩浆的喷发环境为滨海-浅海相。这种海相的基性火山喷发条件,有利于有用金属组份的沉积和富集。

# 3 华力西期基性喷发岩系岩浆演化分异特征与含矿性探讨

本区华力西期基性岩浆喷发早、中期具浅海相喷发性质,第Ⅰ旋回~第Ⅱ旋回中期属持续

稳定阶段,喷发-沉积了厚度较大的玄武岩层。岩浆演化分异至第 正旋回晚期,喷发活动渐趋频繁,喷发强度也相应增强;到黑泥哨期,喷溢活动具裂隙喷发的特点,表现在早期旋回玄武岩的硅化、碳酸盐化或沿已固结玄武岩的裂隙进行侵入穿插。

就区内玄武岩系的矿物成分的变化而言,自下而上,斜长石具从基性一中性的演变规律, 辉石以单斜辉石为主,且由下而上逐渐增多,绿泥石、绿帘石、石英、玛瑙等杏仁体发育。

随着岩浆分异作用的进行,气液相组份增多,铜(铅、锌等)元素亦渐趋富集,并导致了不同喷发旋回的玄武岩系中自然铜、硅孔雀石等铜矿物含量和岩石中铜等元素的规律性递增(表2)。至玄武岩浆喷发晚期,由于岩浆分异作用较为彻底,铜等元素的含量更趋富集,尤其第 $\mathbb{N}$  旋回地层( $\mathbb{P}_2$ h)上部致密状玄武岩中,铜元素含量可高达0.1%以上(表 3)。

表 2 各旋回玄武岩 Cu,Pb,Zn 含量分析表

Table 2 Cu, Pb, Zn content analysis in each cycle basalt

取样层位		第 I 旋回(P <sub>2</sub> β <sup>1</sup> )		第 <b>I</b> 旋回(P₂β³)	) 第 N 旋回(P₂h)	
样.	品数	18	16	18	24	
含	铜(Cu)	2~5 (最高 25)	10~50	20~400	100~1000	
矿 性	铅(Pb)	0~1	<1~2	1~5	1~2	
$(\times 10^{-6})$	锌(Zn)	<10~10	<10~10	<10~20 (最高 30~60)	<10~10	

成都理工学院测试中心分析(原子吸收光谱法)

表 3 第 🗉 、第 🗅 旋回玄武岩铜元素分析

Table 3 Cu Content analyseis in basalt of the third and fourth cycle

样品岩石名称	第 <b>正</b> 旋回(P₂β³)		第 N 旋回(P₂h)		
许加石石石物	样品数	平均含量(×10-6)	样品数	平均含量(×10-6)	
致密状玄武岩	9	110	10	650(个别大于 10000)	
气孔、杏仁状玄武岩	5	386	6	360	
斜斑玄武岩	4	250	8	280	

成都理工学院测试中心分析(原子吸收光谱法)

区内第  $\blacksquare$ 、 $\mathbb{N}$  旋回不同岩性玄武岩的光谱分析结果表明(表 3),第  $\blacksquare$  旋回( $P_2\beta^3$ )铜总平均含量达  $249\times10^{-6}$ 左右,高于玄武岩中铜的丰度值 2.8 倍以上,高于克拉克值近 12 倍。第  $\mathbb{N}$  旋回( $P_2h$ )铜总平均含量达  $430\times10^{-6}$ 左右,高于玄武岩中铜的丰度值 5 倍,高于克拉克值约 20 倍。

对宁蒗-丽江地区区域铜矿资料的统计结果表明(表 4),铜矿床(矿点)主要赋存于黑泥哨组( $P_2h$ ),赋矿机率高达 55%;玄武岩组上段( $P_2\beta$ 3)次之,赋矿机率为 30%。该统计结果清晰地

显示了岩浆分异作用与含矿性变化之间的关系。

#### 表 4 宁蒗-丽江地区区域铜矿赋矿机率统计

Table 4 Regional minerogenetic rate of copper ore in Ninglang-Lijiang are

赋矿层位	P <sub>2</sub> h	$P_2\beta^3$	$P_2\beta^2$	$P_2\beta^1$	合计
铜矿床(矿点)	22	12	5	1	40
赋矿机率	55%	30%	12.5%	2.5%	100%

总之,本区晚期玄武岩浆喷发-沉积的第 $\mathbb{I} \setminus \mathbb{N}$  旋回地层( $P_2\beta$  和  $P_2h$ ),是区内铜矿的重要矿源层和主要赋矿层位,亦是本区找矿的显著层位标志。

另外,区内玄武岩系中铅锌元素的的含量,随着玄武岩浆演化分异作用的进行,也显示与铜元素同步增长的趋势。

成文前野外工作过程中,曾得到徐旃章教授、张寿庭副教授的热心指导,成文后又承蒙我的博士导师童崇光教授的仔细审阅,在此一并致谢。

#### 参考文献

- 1 云南省地质矿产局,云南省区域地质志,地质出版社,1990
- 2 胡受权,云南宁蒗地区喜山期斑岩成矿带构造控岩控矿特征,成都地质学院硕士学位论文,1991
- 3 徐旃章,等,矿产资源评价,成都科技大学出版社,1993
- 4 徐旃章,张寿庭,矿产资源调查评价与开发利用引论,成都科技大学出版社,1993

# STUDY ON ORE-BEARING PROPERTY OF VARISCAN BASIC EXTRUSIVES FROM SHUZA TO SHULAOHE IN NINGLANG AREA OF NORTHWEST YUNNAN

Hu Shou-quan

Guo Wen-ping

(Chengdu Institute of Technology) (Geology and Drill Team of Sichuan Salt Co)

#### Abstract

Variscan basic extrusives with distinct cyclicity erupted and deposited from littoral region to epeiric sea during variscan period. In pace with the Variscan basic maginatic differentitation, its ore-bearing property (meaning content of Cu, Pb, Zn etc) is progressively increasing. The basaltic formation of the third and fourth cycle ( $P_2\beta^3$  and  $P_2h$ ) is the important ore Source and ore bed in this district.